

Т.Л. БАБАДЖАНОВ, Г.Б. КИМ, О.П. МОРДВИНЦЕВ,  
В.В. РУБО, И.П. СИДОРОВА, Р.Р. ХАСАНОВ

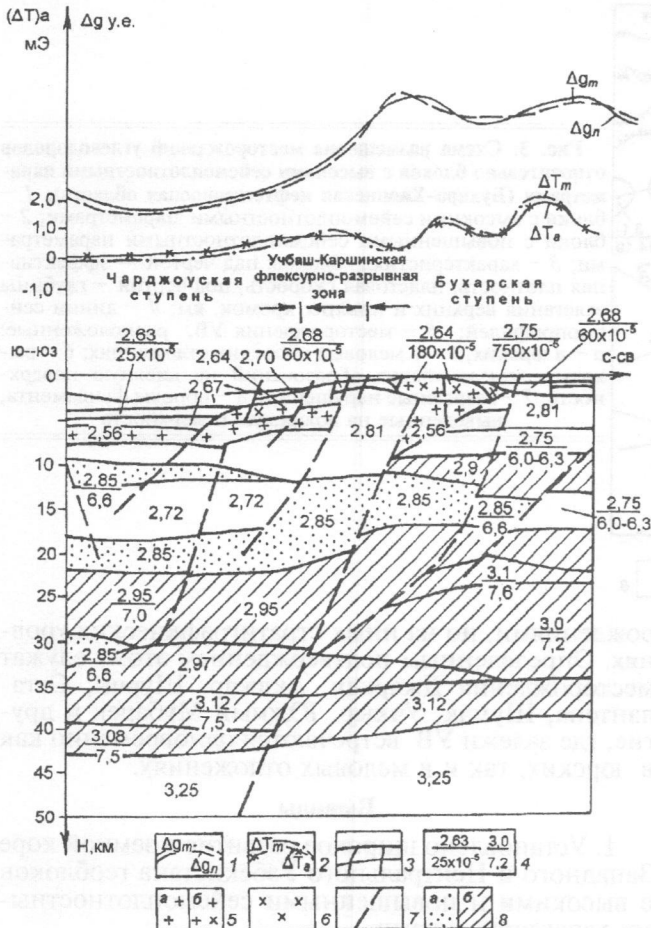
## ВЫСОКОСКОРОСТНЫЕ И ВЫСОКОПЛОТНЫЕ ОБЪЕКТЫ ВЕРХНЕЙ ЧАСТИ ЗЕМНОЙ КОРЫ В ЗАПАДНОМ УЗБЕКИСТАНЕ И ИХ СВЯЗЬ С НЕФТЕГАЗООБРАЗОВАНИЕМ

Приведены новые данные по глубинному геологическому строению земной коры Западного Узбекистана. Рассмотрены особенности распределения по разрезу геоблоков с аномальными сейсмоплотностными параметрами и пространственная связь с размещением месторождений углеводородов в Бухаро-Хивинской нефтегазоносной области.

Изучение нефтегазоносности образований про-  
межуточного структурного этажа и кристаллических пород характерно для регионов, где в доста-  
точной степени истощены запасы в традиционных осадочных комплексах. Такая переориентировка геолого-геофизической службы на поиски и раз-  
ведку месторождений в неосвоенных и нетрадици-  
онных стратиграфических и литолого-петрографи-  
ческих подразделениях обязательно связана с раз-  
работкой новых прогнозных признаков и критериев, способных в будущем успешно решать задачи по обнаружению промышленных скоплений угле-  
водородного сырья. Проблема осложняется еще и специфичностью самого полезного ископаемого, обладающего значительной подвижностью, теку-  
щстью и требующего в связи с этим определенных условий для возникновения промышленных скоплений. Большое количества гипотез о генезисе углеводородов (от органического происхождения до абиогенного, включая и космическое) не способст-  
вует быстрейшему решению задачи, а в ряде случаев только усложняют ее [5, 9, 10]. Однако успехи нефтегазовой геологии позволяют предположить, что истина находится где-то посередине (микстгено-  
нетическая схема образования УВ [1], сингенетич-  
ная гипотеза [6], осадочно-неорганическая [8] и др.). Анализ глубинного строения нефтегазонос-  
ных территорий все чаще приводит исследователей к выводу, что формирование нефтегазовых бассейнов является следствием общего процесса эволю-  
ции Земли, включая энергомассобмен между верхней мантией и корой и внутрикоровый, которые осуществляются по наиболее проницаемым зонам земной коры. Основное средство тепломассопереноса — глубинные флюиды, которые содержат различные углеводороды (преимущественно легкие), а также водород, азот, углекислый газ, гелий и др. Установлено, что зоны нефтегазонакопления ха-  
рактеризуются повышенными значениями тепло-  
вых полей, что указывает на более интенсивную миграцию флюидов. В связи с тем, что флюидные системы верхней части земной коры являются единой системой, из которой формируются как месторождения нефти и газа, так и скопления терма-  
льных минеральных вод, многочисленные месторождения рудных инерудных полезных ископаемых, вполне целесообразно использовать достижения рудной геологии [4], где разработано мно-

жество моделей и концепций по увязке глубинного строения земной коры или каких-либо ее структурных элементов с размещением месторождений полезных ископаемых. Одна из наиболее интересных, на наш взгляд, содержится в [11], где предположена локализация скоплений полезных ископаемых на границах легких и плотных блоков.

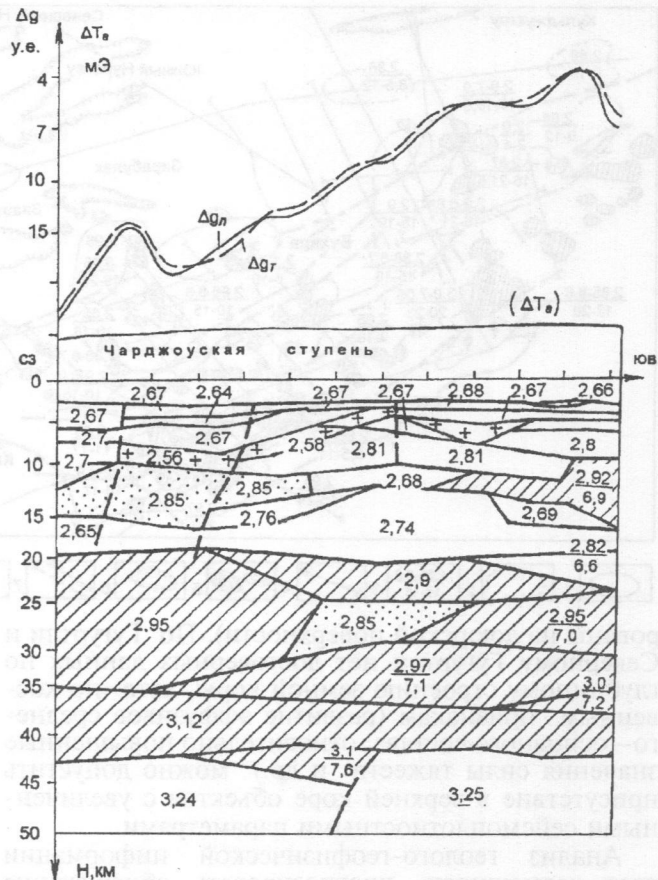
Комплексная переинтерпретация геолого-гео-  
физического материала региональных сейсмоло-  
гических и сейсморазведочных профилей ГСЗ, МОВЗ, ГСЗ-МОВЗ, КМПВ, КМПВ-МГОВ, глубинного ОГТ и моделирование по потенциальным полям, выполненных нами в 1998–2002 гг. на тер-  
ритории Западного Узбекистана, позволили уточ-  
нить, а в ряде случаев и получить новые данные о строение литосферы региона, подчеркнуть ее явно выраженный слоисто-блочный характер [2]. В пределах Бухаро-Хивинской нефтегазоносной об-  
ласти (БХНГО) выявлены блоки с аномальными сейсмоплотностными параметрами (как повы-  
шенными, так и пониженными, рис. 1, 2). Уста-  
новлены определенные закономерности в разме-  
щении блоков. Наиболее плотные и высокоско-  
ростные объекты ( $\sigma_{\text{эф}} 2,9\text{--}3,1 \text{ г}/\text{см}^3$ ,  $V_{P\text{эф}}$  до 7400 м/с) фиксируются (рис. 3) на Бухарской ступени: в районах Газли–Ташкудук, Мамаджурата–Акджаар, Карим–Северный Мубарек; на Чард-  
жоуской ступени: Кувачи, Северное Шады, Зеварды, Памук, Култак, а также на крайнем юго-западе территории, по профилю ГСЗ Карабекаул–Кой-  
таш, (последний объект протягивается далеко за пределы Республики Узбекистан). Кроме перечис-  
ленных выделяется в различных областях БХНГО (рис. 3) ряд геоблоков, имеющих повышенные (для своих глубин) физические параметры:  $\sigma_{\text{эф}} 2,85\text{--}2,88 \text{ г}/\text{см}^3$ ,  $V_{P\text{эф}}$  6600–6800 м/с. Простран-  
ственные границы объектов (за пределами линий сейсмопрофилей) определялись с использованием карт региональных и локальных аномалий силы тяжести, а также региональных аномалий магнитного поля. Большая часть рассматриваемых блоков приурочена к Бухарской тектонической ступени, однако площади распространения их на обеих сту-  
пенях примерно равны, что объясняется расположением объектов, в ряде случаев в несколько эта-  
жей на различных гипсометрических уровнях. Почти повсеместно тела с повышенными сейсмоп-  
лотностными параметрами в той или иной степени



**Рис. 1.** Геолого-геофизическая модель строения земной коры по профилю КМПВ-МГОВ 03800378: 1 — графики гравитационного поля:  $\Delta g_l$  — локальная составляющая гравитационного поля,  $\Delta g_r$  — теоретическая составляющая гравитационного поля; 3 — графики магнитного поля:  $\Delta T_m$  — теоретическая кривая от модели; 3 — блоки земной коры, полученные по результатам моделирования; 4 — петрофизические параметры геоблоков: над чертой — эффективная плотность,  $\text{г}/\text{см}^3$ , под чертой — эффективная магнитная восприимчивость ( $\text{n} \times 10^{-5}$  ед. СИ), скорость распространения упругих волн (км/с); 5 — интрузивные тела кислого состава: а — граниты, б — гранодиориты; б — интрузивные тела среднего состава; 7 — разрывные нарушения; 8 — шкала плотности: а — от 2,85 до 2,90  $\text{г}/\text{см}^3$ , б — от 2,90 до 3,05  $\text{г}/\text{см}^3$

соприкасаются с зонами разуплотнений и низких (пониженных) сейсмических скоростей — волноводами, которые являются своеобразными глубинными объектами, представляя собой, вероятно, зоны, обогащенные флюидами [7]; отмечены контакты тел с гранитоидами.

Анализ пространственного размещения открытых месторождений углеводородов в мезозой-кайнозойском чехле выявил следующее. По границам геоблоков с высокими сейсмоплотностными параметрами ( $\sigma_{\text{эф}} 2,9-3,05 \text{ г}/\text{см}^3$ ,  $V_{p\text{эф}} 6900-7400 \text{ км}/\text{с}$ ) расположены многие известные месторождения (рис. 3): Газли, Ташкудук, Мамаджургаты, Чукрукуль, Кувачи-Алат, Акджар, Култак, Кокдумалак, Алан, Северный Мубарек, Кызылрават, Зеварды, Памук, Омад, Истмок и др. Кроме того, картируется ряд геоблоков с повышенными (для своих глубин) сейсмоплотностными параметрами, которые имеют несколько большее площадное распространение. Периферийным или центральным частям



**Рис. 2.** Геолого-геофизическая модель строения земной коры по профилю КМПВ-МГОВ 09800378; усл. обознач. см. рис. 1

этих объектов пространственно соответствуют месторождения: Янгиказган, Кульбешкак, Учкыр, Хаузаг, Денгизкуль, Восточный Денгизкуль, Западная Чегара, Чегара, Чандыр, Уртабулак, Кокчи, Каландар, Марковское и др. В отмеченном выше распределении фактически не играет никакой роли стратиграфическая приуроченность месторождений — одинаково хорошо вписываются в общую картину скопления УВ в меловых и юрских отложениях.

Некоторые крупные площади в пределах рассматриваемой территории остались, на первый взгляд, без аналогичной привязки: месторождения Кандым, Ходжи, Восточный Аккум. Однако анализ глубинного строения земной коры показал, что под ними, на отметке около 11 км, установлен контакт гранитоидов с образованиями с  $\sigma_{\text{эф}}$  2,85  $\text{г}/\text{см}^3$ ,  $V_{p\text{эф}}$  6600  $\text{м}/\text{с}$ , глубже (на 20 км) выявлен блок большой мощности с  $\sigma_{\text{эф}}$  2,98  $\text{г}/\text{см}^3$ ,  $V_{p\text{эф}}$  7100  $\text{м}/\text{с}$ . Кроме того, в непосредственной близости от месторождения Кандым на доюрскую поверхность выведены породы кристаллического основания, вскрытые скважинами (Фараб) и представленные амфиболитами ( $\sigma_{\text{эф}}$  2,81–2,83  $\text{г}/\text{см}^3$ ).

Сопоставление результатов опробования интервалов в доюрских комплексах пород БХНГО, где установлены наиболее значительные нефтегазопроявления, приводит к следующему заключению. К периферийным областям высокоплотных и разуплотненных объектов приурочены: Карайз, Шурчи, Акджар, Юлдузкак, Сарыташ, Южный Кульбешкак, Фараб (породы фундамента закарти-

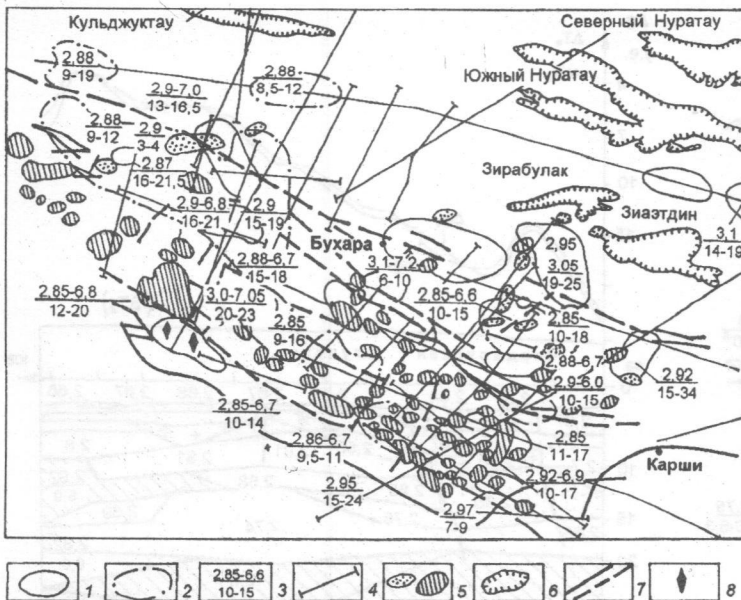


Рис. 3. Схема размещения месторождений углеводородов относительно блоков с высокими сейсмоплотностными параметрами (Бухаро-Хивинская нефтегазоносная область): 1 – блоки с высокими сейсмоплотностными параметрами; 2 – блоки с повышенными сейсмоплотностными параметрами; 3 – характеристики блоков: над чертой – эффективная плотность, пластовая скорость, под чертой – глубины залегания верхних и нижних кромок, км; 4 – линии сейсмопрофилей; 5 – месторождения УВ, расположенные: а – в юрских, б – в меловых и юрских отложениях; 6 – выходы домезозойских образований на дневную поверхность; 7 – разрывные нарушения; 8 – породы фундамента, выведенны на доюрскую поверхность

рованы на доюрской поверхности). По Гугуртли и Северному Гугуртли нет достоверных данных по глубинному строению земной коры, хотя по косвенным признакам (развитие эффузивов среднегос основного состава, относительно повышенные значения силы тяжести и др.) можно допустить присутствие в верхней коре объектов с увеличенными сейсмоплотностными параметрами.

Анализ геолого-геофизической информации дает возможность прогнозировать обнаружение скоплений УВ (при наличии прочих благоприятных геолого-тектонических условий): по доюрскому комплексу – на территориях, расположенных к востоку и северо-востоку от Кокчи, к северо-западу от Северное Шады, к востоку от Зекры, северо-восточнее месторождения Памук, а также южнее и восточнее Газли; по мезозой-кайнозойскому чехлу на северо-западе и в центральных областях Бухарской и Чардоуской ступеней, а также на юго-востоке Бухарской. При этом надо учитывать, что, по-видимому, основную роль в процессе накопления и удержания УВ играли ловушки неантклинального типа – литологические, тектонические и др. Одним из важнейших следствий установленных закономерностей является возможность наличия скоплений углеводородного сырья под уже известными и эксплуатируемыми месторождениями, но на иных стратиграфических уровнях. Определенным подтверждением этому служат месторождения Джаррак, Акджар, Шурчи, Сеталантепа, Шумак, Учкыр, Южный Мубарек и другие, где залежи УВ встречаются одновременно как в юрских, так и в меловых отложениях.

## Выводы

1. Установлено широкое развитие в земной коре Западного и Центрального Узбекистана геоблоков с высокими и повышенными сейсмоплотностными характеристиками.

2. Выявлена пространственная корреляционная связь между размещением разведанных месторождений углеводородов и аномальных блоков земной коры, что в целом является новым региональным поисковым признаком.

3. Отмеченные закономерности еще раз подчеркивают далеко не последнюю роль, которую играют углеводороды мантийного (корового) происхождения в формировании нефтяных и газовых месторождений и, таким образом, подтверждают идею смешанного генезиса образования нефти и газа.

4. Установленные соответствия указывают на возможность обнаружения промышленных скоплений углеводородов в пределах открытых месторождений, но в более глубоких стратиграфических горизонтах.

## ЛИТЕРАТУРА

- Абидов А.А., Долгополов Ф.Г. Три аспекта микстнетичной схемы природного синтеза углеводородов // Узбекский журнал нефти и газа. 2001. № 2. С. 3–12.
- Бабаджанов Т.Л., Мордвинцев О.П. Особенности строения земной коры Юго-Западного Узбекистана // Geologiya va mineral resurslar. 2001. № 4. С. 42–46.
- Бабаджанов Т.Л., Мордвинцев О.П. О перспективах нефтегазоносности доюрских образований // Узбекский журнал нефти и газа. 2002. № 1. С. 6–8.
- Багдасаров М.В. Разломы земной коры – основные структурные элементы для миграции глубинных флюидных систем // Геология, геофизика и разработка нефтяных и газовых месторождений. 2002. № 5. С. 27–32.
- Каграманов Ю.Р., Егикян А.Г. К вопросу о генезисе нефти // Геология нефти и газа. 2000. № 5. С. 53–60.
- Иванников В.И. Миграция углеводородов и ее движущие силы // Геология, геофизика и разработка нефтяных месторождений. 2000. № 3. С. 21–27.
- Хамрабаев И.Х., Сейдузова С.С., Кустарников А.А. и др. Природа слоев и границ литосферы Средней Азии. Ташкент: ГФНТИ, 1998. 212 с.
- Чебакко И.И. Осадочно-неограниченная теория формирования нефтяных и газовых месторождений // Геология нефти и газа. 2000. № 5. С. 50–52.
- Шахновский И.М. Происхождение нефтяных и газовых месторождений // Геология, геофизика и разработка нефтяных месторождений. 2002. № 3. С. 16–24.
- Шахновский И.М. Научные последствия ошибочных представлений о процессах нефтегазообразования // Геология, геофизика и разработка нефтяных месторождений. 2001. № 3. С. 14–22.
- Rongfu Pei, Cong Peng, Qunyao Xun. Deep tectonic processes and superaccumulations of metals in mesozoic intracontinental orogenic belt of Nanling metallogenic province, China // Global tectonics and metallogeny. 2001 V. 7. N 3–4. P. 183–194.

ОАО «Узбекгеофизика»  
Рецензент – А.А. Никитин